

انکلاوهای مخروط اسکوری قزلجه‌کند (شمال قروه): زینولیت یا کومولا؟

سارا ویسی^۱، عباس آسیابانها^(۲)، حسین شهبازی^۳ و محسن نصرآبادی^۴

۱. کارشناسی ارشد پترولولوژی، گروه زمین‌شناسی، دانشکده علوم پایه، دانشگاه بین‌المللی امام خمینی (ره)، قزوین
۲. دانشیار گروه زمین‌شناسی، دانشکده علوم پایه، دانشگاه بین‌المللی امام خمینی (ره)، قزوین
۳. استادیار گروه زمین‌شناسی، دانشکده علوم پایه، دانشگاه بوعلی سینا، همدان
۴. استادیار گروه زمین‌شناسی، دانشکده علوم پایه، دانشگاه بین‌المللی امام خمینی (ره)، قزوین

تاریخ دریافت: ۹۲/۶/۲

تاریخ پذیرش: ۹۳/۷/۲۲

چکیده

مخروطهای آتشفشارانی پلیوکواترنس شمال قروه، از نظر رخسارهای از سه رخساره پیروکلاست‌های پامیسی، نهشته‌های ریزشی اسکوری و روane‌های گدازه ساخته شده‌اند که در این میان، اسکوری‌ها بیشترین حجم را به خود اختصاص می‌دهند. به همین دلیل به آنها مخروط اسکوری اطلاق می‌شود. در داخل پرتابه‌های اسکوری دو نوع انکلاو فلزیک (زینولیت‌های پوسته‌ای) و مافیک یافت می‌شود. انکلاوهای مافیک از نظر نوع و فراوانی کانی‌ها به سه گروه میکا-آپاتیت-هورنبلند (MAH)، میکا-آپاتیت-الیوین (MAO) و هورنبلند-آپاتیت-پیروکسن (HAP) قابل تقسیم هستند. با توجه به همانندی ترکیبی و بافتی کانی‌ها انکلاوهای اسکوری‌ها و گدازه‌ها، می‌توان آنها را کومولا‌هایی دانست که توسط فوران‌های انفجاری نوع استرومبوی به سطح زمین آورده شده‌اند. بالاخره با توجه به مقدار بالای منیزیم در ترکیب کانی‌ها مافیک مذکور و نیز همراهی کانی‌ها مافیک آبدار و بی‌آب، می‌توان علت ایجاد ماغماهای سازنده مخروطهای اسکوری را ذوب بخشی گوشه فوکانی دانست که متاسوماتیسم گوشه در آن تأثیر بهسزایی داشته است.

واژه‌های کلیدی: زینولیت، کومولا، متاسوماتیسم گوشه، مخروط اسکوری قروه.

۱). این مخروط‌ها معمولاً ارتفاع کمی داشته و سازنده

اصلی آنها قطعات اسکوری است. اگرچه هیچگونه اثری از فعالیت حرارتی جدید در آنها به‌چشم نمی‌خورد، ولی مشاهده چشم‌گوگردی با باگرگر و اثرات فومرویی مجاور آن و نیز رسوبات تراویرنی در کل منطقه، می‌تواند نشانه

مقدمه

در شمال شهرستان قروه (کردستان)، تعدادی مخروط آتشفشارانی جوان به موازات راندگی زاگرس و با فاصله حدود ۱۰۰ کیلومتری از آن وجود دارد (شکل

* نویسنده مرتبط: asiabanza@sci.ikiu.ac.ir

انکلاوهای مافیک نادیده انگاشته شده، مقایسه ترکیب شیمیابی کانی‌ها انکلاوها با سنگ میزبانشان (اسکوری‌ها و گدازه‌های بازالتی) است. شاید درشت بودن نسبی کانی‌ها این گروه از انکلاوها باعث شده است که محققین یاد شده، نحوه تشکیل آنها را متفاوت از کانی‌ها گدازه‌ها بدانند.

لذا هدف مهم این مقاله، بررسی رابطه بین انکلاوها با مواد دربرگیرنده‌شان شامل اسکوری‌ها و گدازه‌ها از طریق مطالعات بافتی و شیمی کانی‌ها می‌باشد.

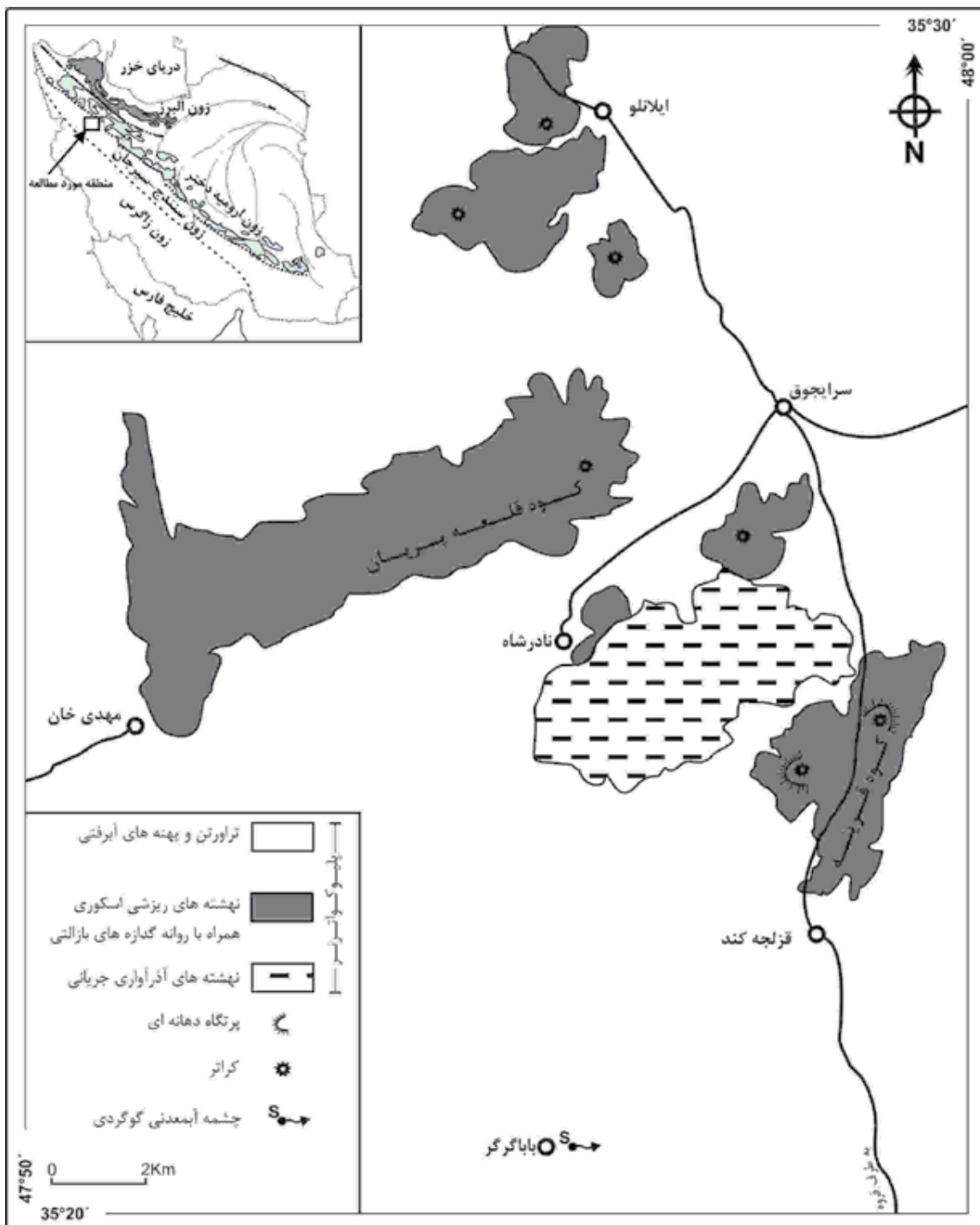
روش مطالعه

داده‌های این مطالعه از طریق برداشت‌های صحرایی و تحلیل رخساره‌های آتشفشنایی، مطالعات پتروگرافی و تجزیه نقطه‌ای بر روی بیش از ۳۰۰ نقطه از کانی‌ها گوناگون در دانشگاه پیر و ماری کوری کشور فرانسه به دست آمده است. دستگاه ریزپردازندۀ از نوع Cameca SX 100 و در طول انجام آنالیز ریزپردازشی، ولتاژ شتابدهنده ۱۵kV، شدت جریان 10 nA، زمان شمارش ده ثانیه و قطر باریکه الکترونی ۵ μm بوده است.

تأثیرپذیری آب‌های زیرزمینی منطقه از فعالیت‌های این سیستم آتشفشنایی باشد.

در داخل اسکوری‌های سیاهرنگ یکی از مخروط‌ها (مخروط قزلجه کند)، انکلاوهایی با جنس و اندازه مختلف وجود دارد که محققین مختلف در مورد آنها نظرات متفاوتی اظهار داشته‌اند. به طوری که درویش‌زاده و شهبازی (۱۳۸۸) آنها را زینولیت نامیده و به دو دسته همزاد (اتولیت) و غیرهمزاد (زینولیت) تقسیم کرده‌اند. به نظر نامبردگان، زینولیت‌های غیرهمزاد، قطعاتی از پی‌سنگ منطقه هستند و اتولیت‌ها حاصل متاسوماتیسم گوشته بوده که با مذاب رابطه ژنتیکی دارند. از دیگر سو، حق نظر و ملکوتیان (۱۳۹۰)، مشاهده زینولیت‌های گنیسی و فنوکریست‌های بیوتیت را شاهدی بر آلایش ماقمای منطقه با سنگ‌های پوسه قاره‌ای می‌دانند. بالاخره گرد (۱۳۹۱) ضمن آنکه زینولیت‌های گنیسی را از نوع ارتوگنیس می‌داند، اعتقاد دارد که سایر انکلاوها، ترکیب اولترامافیک داشته و برای آنها منشأ گوشته‌ای قائل است.

اما آنچه که در این مطالعات، به ویژه در مورد



شكل ۱. نقشه زمین‌شناسی مخروط‌های آتشفشاری شمال قزوه و موقعیت آنها در پهنه‌بندی زمین‌شناسی ایران (با تغییراتی از حسینی ۱۳۷۸)

زمین‌شناسی محدوده

چینه‌شناسی آتشفشان

مخروطهای آتشفشانی شمال قروه بر روی سری رسوباتی متشكل از سنگ آهک رسی، مارن، توف ماسه ای، توف سیلتی، کنگلومرا و تراورتن قرار گرفته‌اند که هم ارز سازند قرمز فوکانی معروفی شده است (حسینی، ۱۳۷۸). ساختار مخروط قربنه تقریباً مشابه سایر مخروطهای محور آتشفشانی قروه - تکاب است و به ترتیب از پایین به بالا از نهشته‌های آذرآواری پامیسی، نهشته‌های ریزشی اسکوری و روانه گدازه‌های بازالتی ساخته شده است.

نهشته‌های آذرآواری پامیسی

در محدوده مورد مطالعه، قدیمی‌ترین واحد آتشفشانی یک روانه صفحه‌ای نازک تراکی آندزیتی با بافت اوتاکسیتی و قطعات پامیسی دگرشکل یافته است. این نهشته‌های آذرآواری جریانی که بیشتر در دامنه غربی مخروط کوه‌سیاه دیده شده و تا مهدیخان ادامه دارند (شکل ۱)، در نمونه دستی با رنگ سفید تا خاکستری روشن و کانی‌ها فلدوپار، بیوتیت و مقدار کمی پیروکسن مشخص می‌شوند.

روانه‌های آذرآواری مورد بحث از لایه‌بندی و جورشدگی نسبتاً خوب و جوش‌خوردگی ضعیفی برخوردار بوده (شکل ۲-الف) و به سمت شمال و شمال غرب یعنی به سمت مخروطهای آتشفشانی ایلانلو و مهدیخان بر میزان جوش‌خوردگی آنها افزوده می‌شود. در این نهشته‌ها، روی هم قرارگیری چند واحد، ظاهری با چینه‌بندی داخلی ایجاد کرده است. از این‌رو به نظر می‌رسد این امر حاصل رانش گاز از قسمت قاعده ستون فوران باشد که پس از خروج از دهانه، در گودال‌های منطقه انباشته شده و لایه‌هایی با جوش‌خوردگی متفاوت ایجاد کرده است (Cas and Wright, 1987؛ Francis, 1993)

نهشته‌های ریزشی اسکوری

بخش اصلی مخروط آتشفشانی قزلجه کند و نیز سایر مخروطهای آتشفشانی منطقه را قطعات اسکوری با جورشدگی خوب (شکل ۲-ب) همراه با بمب‌های آتشفشانی دوکی، مخروطی و قشرنانی تشکیل می‌دهند. رنگ این اسکوری‌های پر حفره، سیاه‌رنگ با ترکیب بازالتی است. از این‌رو ترجیح داده می‌شود که این مخروط و سایر مخروطهای مشابه، مخروط اسکوری Valentine and Gregg (2008) نامیده شود. به نظر (Valentine and Gregg 2008) مخروطهای اسکوری، مخروطهای تکزادی حاصل از فوران‌های آتشفشانی نوع استرومبوالی هستند.

در داخل پرتابه‌های مخروط اسکوری قزلجه کند، دو نوع انکلاو فلزیک یا گنیسی و مافیک یافت می‌شود. انکلاوهای فلزیک در اندازه‌های مختلف چند میلی‌متر تا ابعاد دسی‌متری و بافت مشخص گنیسی حضور دارند (شکل ۲-ج) و به همین دلیل اغلب محققین بر زینولیتی بودن ماهیت آنها و منشاء‌گیری از بی‌سنگ دگرگونی منطقه، اتفاق نظر دارند. اما انکلاوهای مافیک وضعیت دیگری دارند. این انکلاوها تقریباً گرد تا بیضوی با ابعادی در حد ۵ تا ۱۰ سانتی‌متر هستند و رنگ تیره‌تر و چگالی زیادتری نسبت به سنگ میزبان دارند و نکته دیگر آنکه قسمت داخلی این انکلاوها درشت بلورتر از حاشیه‌ها است.

روانه گدازه‌های بازالتی

در بالاترین قسمت مخروط اسکوری قزلجه کند، یک روانه بازالتی با ضخامت حدود ۵۰ متر و رنگ خاکستری تیره تا قهوه‌ای روشن روشن قرار گرفته است (شکل ۲-ب). برخی از آنها دارای بافت پورفیری با درشت بلورهای خودشکل الیوین (شکل ۲-د) و پیروکسن هستند. زینولیت‌های گنیسی در نهشته‌های این پیکره نیز یافت می‌شوند. در قسمت‌هایی از این پیکره، جهت‌گیری زینولیت‌ها و همچنین جهت‌گیری

مسیر حرکت آن در یک مسیر آبراهه‌ای، محصور بوده است که از دهانه مخروط واقع در دیرکلو شروع شده و تا مهدیخان ادامه داشته است (شکل ۱). ساخت منشوری و فرسایش پوست پیازی نیز در قسمت‌هایی از این پیکره مشاهده می‌شود.

حفرات خروج گاز موازی با جهت جریان به خوبی قابل تشخیص است. در مخروط مهدیخان، روانه بازالتی به علت گرانبوی کم توانسته تا مسافت زیادی (حدود ۴ کیلومتر) بر روی دشت جریان یابد. نظر به اینکه این روانه به صورت طویل و کشیده دیده می‌شود، احتمالاً



شکل ۲. تصاویر واحدهای مهم مخروط آتشفشاری قزلجه کند: (الف) نهشته‌های آذرآواری پامیسی؛ ب) نهشته‌های ریزشی اسکوری و روانه گدازه روی آن؛ ج) انکلاو گنیسی داخل پرتابه‌های اسکوری؛ د) روانه گدازه بازالتی حاوی الیوین‌های کومولوسی (داخل دایره‌های قرمز رنگ)

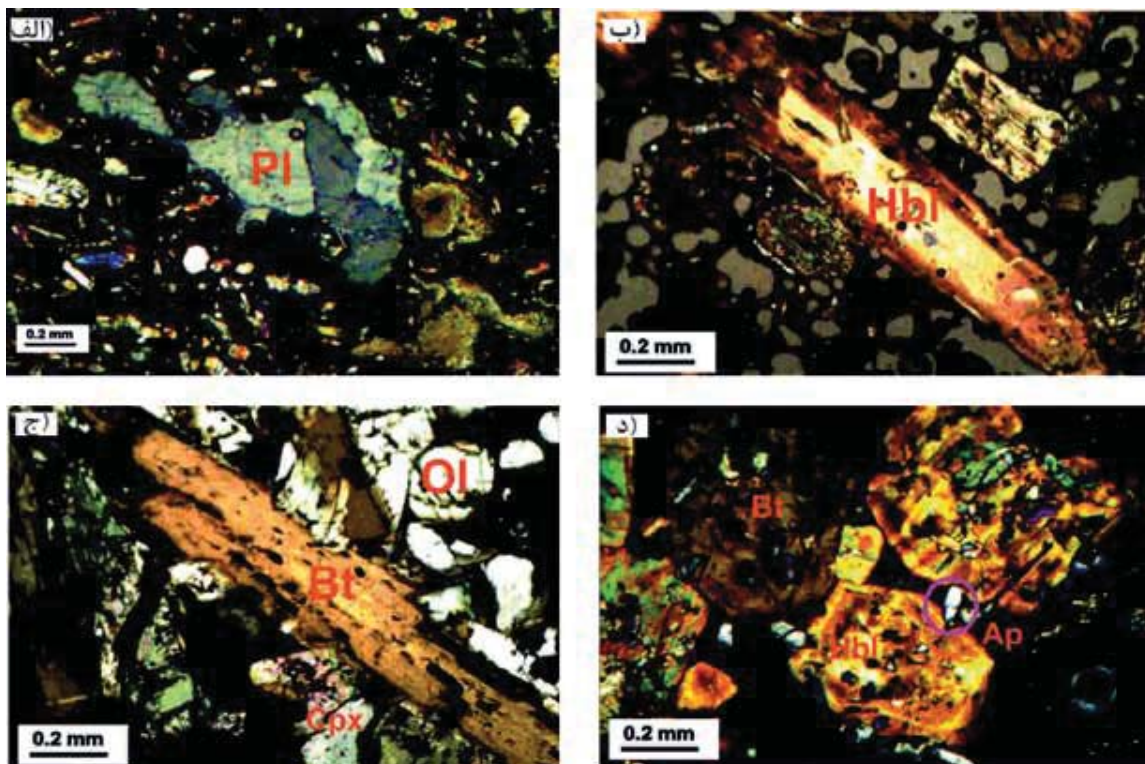
هستند. کلیه پلاژیوکلازها بافت غربالی و خلیج خوردگی (به عنوان بافت ثانویه ناشی از حرارت گدازه دربرگیرنده) داشته و بعضی از آنها ادخال‌هایی از بیوتیت، الیوین و پیروکسن دارند. در بیشتر موارد، این انکلاوها به علت تحمل اتحلال ناشی از مذاب داغتر دربرگیرنده، استحکام خود را از دست داده و کانی‌هاشان پراکنده شده‌اند (شکل ۳-الف). در هر حال به علت تفاوت‌های فاحش کانی‌شناسی و سنگ‌شناسی، زینولیت نامیده

پتروگرافی
برای پی بردن به پتروژنز انکلاوهای موجود در اسکوری‌ها و گدازه‌ها، به مقایسه اختصاصات بافتی و کانی‌شناسی آنها پرداخته می‌شود.

انکلاوهای فلزیک (زینولیت‌های گنیسی)
این گروه از انکلاوها شامل قطعاتی از گنیس با اندازه چند میلی‌متر تا چند دسی‌متر متتشکل از کانی‌ها کوارتز و فلدسپار و مقادیر کمی بیوتیت با بافت گنیسی

زینولیت‌های گنیسی در اثر حرارت و تحرک گدازه‌های بازالتی هستند.

می‌شوند و اعتقاد بر این است که تکبلورهای گرد و خوددهشده کوارتز و فلدسپار داخل روانه گدازه‌های بازالتی، همان زینوکریست‌های حاصل از پراکندگی



شکل ۳. تصاویر پتروگرافی انکلاوهای مختلف: (الف) کانی‌ها پلاژیولاز (Pl) در یک انکلاو گنیسی؛ (ب) نمونه‌ی یک بلور درشت ماجنتیوهاستنگریت (Hbl) در یک انکلاو هورنبلند-آپاتیت-میکا؛ (ج) بلورهای الیوین (Ol)، کلینوپیروکسن (Cpx) و بیوتیت (Bt) در یک انکلاو میکا-آپاتیت-الیوین؛ (د) بلورهای هورنبلند (Bt)، بیوتیت (Hbl) و آپاتیت (Ap) در یک انکلاو هورنبلند-آپاتیت-پیروکسن

این نمونه‌ها کومولایی همراه با حفرات خالی در لابلای بلورها است که حاکی از عدم فشردگی کامل آنها به هم است. آمفیبولهای درشت شکل دار تا نیمه‌شکل دار، اسکلت اصلی این دسته را تشکیل داده، علاوه بر آنکه دارای منطقه‌بندی، بافت غربالی و خوردگی خلیجی هستند، ادخال‌هایی از پیروکسن نیز در آنها دیده می‌شود.

بیوتیت‌های شکل دار نیز در نمونه‌های این گروه دیده می‌شوند. اما مقدارشان به مراتب کمتر از هورنبلندها است. این کانی دارای منطقه‌بندی، بافت غربالی و خوردگی خلیجی می‌باشد و اغلب ادخال‌هایی

انکلاوهای مافیک

در این مطالعه، براساس نوع و مقدار کانی‌ها، این گروه از انکلاوهای به سه گروه میکا-آپاتیت-هورنبلند (MAH)، میکا-آپاتیت-الیوین (MAO) و هورنبلند-آپاتیت-پیروکسن (HAP) تقسیم شده‌اند:

الف- میکا-آپاتیت-هورنبلند (MAH)

کانی‌های اصلی این گروه را هورنبلند (۴۰-۳۵٪)، بیوتیت (۲۰-۱۵٪)، آپاتیت (۲۰-۱۵٪) و پیروکسن (۱۵٪) به همراه مقدار کمی شیشه (۵-۲٪) در فضاهای گوشیدار بین بلورها تشکیل می‌دهند (شکل ۳-ب). بافت اصلی

بیشتری برخودارند. از اینرو نسبتاً کم حفره‌تر به‌نظر می‌رسند (شکل ۳-۵).

هورنبلندهای شکل دار تا نیمه‌شکل دار (تا حدودی گردشده) دارای منطقه‌بندی، بافت غربالی و خوردگی خلیجی‌اند و ادخال‌هایی از آپاتیت و پیروکسن را در برمی‌گیرند. آپاتیت‌های ریز و سوزنی شکل به هر دو صورت ادخال و یا لابلای آمفیبول‌ها دیده می‌شوند. نکته قابل توجه این است که تعداد بلورهای آپاتیت در سنگ‌های این گروه نسبت به دو گروه دیگر بیشتر است. پیروکسن‌های نیمه‌شکل دار ریز نیز به‌صورت ادخال در داخل و یا در لابلای سایر بلورها جای گرفته‌اند.

اسکوری‌ها

اسکوری‌های به‌صورت پرتابه‌های فراوان در نمونه دستی خاکستری تیره تا سیاه‌رنگ بوده و در زیر میکروسکوب علاوه بر بافت حفره‌ای، بافت گلومرولوپوروفیری و میکرولیتیک پوروفیری نیز نشان می‌دهند. اجزای تشکیل‌دهنده آنها شامل فنوکریستهای شکل دار و نیمه‌شکل دار کلینوپیروکسن و الیوین در زمینه‌ای از شیشه و میکرولیت‌های بسیار ریز پیروکسن و پلاژیوکلاز و آمفیبول‌های سوزنی بسیار ریز کاملاً سوخته و یا با حاشیه سوخته است.

درشت بلورهای کلینوپیروکسن (دیوپسید و سالیت) با ابعاد $0/2$ تا 3 میلی‌متر، حدود 40 درصد و انواع ریزتر آن حدود 30 درصد حجم سنگ را در بر می‌گیرند. این بلورها اغلب شکل دار و نیمه‌شکل دار بوده و به‌صورت مقاطع هشت‌ضلعی و یا منشوری قابل مشاهده‌اند. تجمعات شعاعی (بافت اسفلولیتی) این کانی‌ها در قسمت‌هایی از این مقاطع دیده می‌شوند. گاهی در حاشیه این بلورها خوردگی‌های خلیجی نیز مشاهده می‌شود. شدت خوردگی و انحلال در بلورهای منفرد کلینوپیروکسن نسبتاً بیشتر از گلومرول‌هاست.

از پیروکسن و آپاتیت را دربرمی‌گیرد. آپاتیتها شکل دار و نیمه‌شکل دار بوده و به‌صورت سوزن‌های بسیار ریز در سراسر مقاطع و یا به‌صورت ادخال درون آمفیبول‌ها و بیوتیت‌ها دیده می‌شوند. پیروکسن‌ها نیز اغلب بسیار ریز بلور بوده و در بین بلورهای درشت و کشیده هورنبلنده و یا به‌صورت ادخال درون آنها جای گرفته‌اند.

ب- میکا - آپاتیت - الیوین (MAO)

کانی‌ها اصلی این گروه به‌ترتیب فراوانی عبارتند از بیوتیت ($30\%-35\%$)، هورنبلنده ($10\%-15\%$)، آپاتیت (15%)، پیروکسن (15%) و الیوین (12%) به‌همراه مقدار بیشتری شیشه (حدود 10%) نسبت به انکلاوهای نوع MAH. بافت اصلی سنگ‌های این گروه نیز کومولایی است (شکل ۳-ج) که به‌دلیل وجود فضاهای خالی در لابلای بلورها، متخلخل و حفره‌دار به‌نظر می‌رسند. بیوتیت‌ها که بیشترین حجم نمونه را به‌خود اختصاص داده‌اند، نیمه‌شکل دارند و به‌صورت بلورهای کشیده با اندازه متفاوت بسیار ریز تا بسیار درشت بوده، بافت غربالی، منطقه‌بندی مشخص و خوردگی‌های خلیجی نشان می‌دهند. اغلب در درون آنها ادخال‌هایی از پیروکسن و آپاتیت نیز دیده می‌شود.

هورنبلندها که از نظر فراوانی در جایگاه دوم قرار دارند، شکل دار و چندوجهی‌اند و منطقه‌بندی و ادخال‌های پیروکسن و آپاتیت نیز در آنها وجود دارد. پیروکسن، الیوین و آپاتیت بسیار ریز به‌صورت ادخال درون بلورهای درشت آمفیبول و بیوتیت و یا در بین آنها قرار گرفته‌اند.

ج- هورنبلنده - آپاتیت - پیروکسن (HAP)

کانی‌ها اصلی این نمونه‌ها، هورنبلنده ($45\%-55\%$)، آپاتیت (30%) و پیروکسن (20%) به‌همراه مقدار بسیار کمی شیشه (کمتر از 5%) است. برخلاف کانی‌های کشیده دو گروه دیگر، کانی‌های این گروه گردشده‌گی نسبتاً خوبی داشته و نسبت به دو گروه دیگر از فشرده‌گی

طی صعود ماگما باشد. در همین راستا، Rutherford and Devine (2003) معتقدند این بافت واکنشی یا بهدلیل صعود ماگما از اعماق و یا بهواسطه اختلاط ماگمایی در مجرای صعود پدید می‌آید.

هورنبلند (ماگنیزیوهاستنگریت) اغلب بهصورت بلورهای کاملاً سوخته و یا با حاشیه سوخته، به فراوانی در این نمونه‌ها دیده می‌شود. بلورهای بیوتیت (فلوگوپیت و بیوتیت منیزیم‌دار) نیز به تعداد اندک (٪۱۲) در بعضی از نمونه‌ها دیده می‌شود. در بعضی از این بلورهای نیمه‌شكل‌دار بیوتیت، ادخال‌هایی از پیروکسن و نیز بافت غربالی و خوردگی خلیجی مشاهده می‌شود.

کوارتز نیز در این سنگ‌ها وجود دارد که بهنظر می‌رسد زینوکریستهای حاصل از آپاشه زینولیت‌های گنیس باشند. خمیره میکرولیتی این سنگ‌ها شامل تیغه‌های ریز کلینوپیروکسن و پلاژیوکلاز و مقدار زیادی شیشه است. این خمیره دارای بافت پیلوتاکسیتی یا نمدی است که بهعلت جهت‌گیری تصادفی یا غیرموازی میکرولیت‌ها ایجاد شده است.

شیمی کانی‌ها

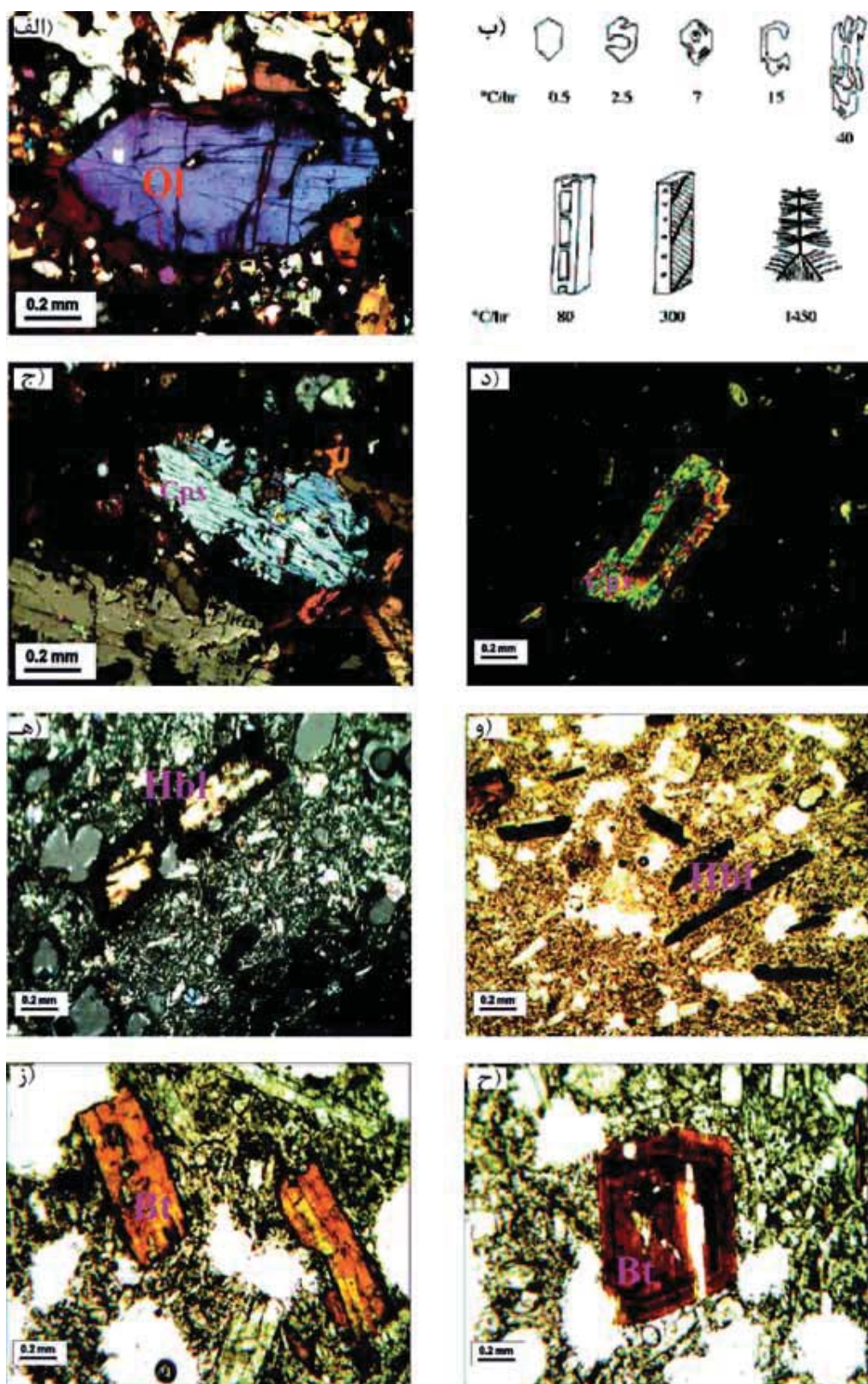
چنانچه اشاره شد کانی‌ها مافیک از هر دو نوع آبدار و بی‌آب، در گدازه‌ها و اسکوری‌ها و نیز در انکلاوهای مخروط آتش‌شانی قزلجه کند وجود دارند. نظر به اینکه انکلاوهای مافیک بهصورت کلوخه‌های گرد با اندازه‌های متفاوت دیده می‌شوند، محققین مختلف (از جمله درویش‌زاده و شهرابی، ۱۳۸۸ و گردد، ۱۳۹۱) علیرغم دردست نداشتن داده‌های ترکیب شیمیایی کانی‌ها، آنها را زینولیت‌های گوشته‌ای دانسته‌اند. از این‌رو برای بررسی صحت این رابطه، به مقایسه ترکیب شیمیایی کانی‌ها مافیک در انکلاوهای مورد اشاره و گدازه‌ها یا اسکوری‌ها پرداخته شده است.

ممولاً در درشت‌بلورهای کلینوپیروکسن، بافت غربالی و منطقه‌بندی دیده می‌شود. وجود منطقه‌بندی، بافت غربالی و خوردگی‌های خلیجی می‌تواند در اثر تبلور غیرتعادلی ناشی از اختلاط ماگمایی (Dungan and Rhodes, 1978; Tsuchiyama, 1985; Halsor, 1989; Trol et al., 2004) و یا به واسطه‌ی صعود سریع (Nelson and Montana, 1992) ایجاد شده باشد.

روانه‌گدازه‌های بازالتی

گدازه‌های بازالتی در نمونه دستی به رنگ قهوه‌ای یا خاکستری تیره هستند. کانی‌های اصلی این نمونه‌ها شامل کلینوپیروکسن (٪۴۰-٪۳۵)، الیوین (٪۸-٪۳) و میکرولیت‌های پلاژیوکلاز (٪۱۲-٪۱۰) همراه با کانی‌های فرعی هورنبلند، بیوتیت و کوارتز است. بافت اصلی نمونه‌ها پورفیری، گلومروپورفیری و میکرولیتی پورفیری است. الیوین‌ها و کلینوپیروکسن‌ها بهصورت فنوکریست در زمینه‌های متشکل از بلورهای بسیار ریز پیروکسن و پلاژیوکلاز بههمراه شیشه قرار گرفته‌اند.

پیروکسن‌ها (دیوپسید و سالیت) در این نمونه‌ها اغلب شکل‌دار و نیمه‌شكل‌دار هستند. در آنها منطقه‌بندی، بافت غربالی، خوردگی خلیجی و تیغه‌های جدایشی دیده می‌شود. از نظر اندازه گستره وسیعی از بسیار ریز تا بسیار درشت را شامل می‌شوند (بافت تدریجی). تجمعات متفاوتی از این بلورها بهصورت بافت گلومروپورفیری و اسفلولیتی نیز در نمونه‌ها بهچشم می‌خورد. در قسمت‌هایی از این نمونه‌ها، اورالیتیزاسیون بهصورت بافت کرونا دیده می‌شود که طی آن، حاشیه‌های آمفیبول روی هسته پیروکسن رشد کرده است. با توجه به شواهد صحرابی (زینولیت‌های گنیسی) و پتروگرافی (متلاشی شدن زینولیت‌ها و ورود آب حاصل از کانی‌ها آبدار آنها به داخل ماگما) بهنظر می‌رسد تشکیل هورنبلندها در بافت کرونای مورد بحث، حاصل نوعی آلایش پوسته‌ای



شکل ۴. تصاویر پتروگرافی برگزیده از برخی کانی‌ها نمونه‌های مورد مطالعه: (الف) مقایسه مورفولوژی کانی الیوین در گدازه‌ها با (ب) اشکال شاخص در آزمایشات Donaldson (1976)؛ (ج) منطقه‌بندی ساعت شنی در دیوپسید (د) منطقه‌بندی متعددالمرکز در کلینوپیروکسن؛ (ه) هورنبلندهای کاملاً اکسید شده؛ (و) هورنبلندهای کاملاً اکسید شده؛ (ز) بیوتیت با حاشیه اپاسیتی شده؛ (ح) منطقه‌بندی در بیوتیت

الیوین

ترکیب این کانی بین $Fo_{79.05}$ تا $Fo_{82.80}$ در تغییر است؛ یعنی از نوع الیوین‌های سرشار از منیزیم تلقی می‌شود. از دیگر سو شکل این کانی در مقاطع نازک، بیشتر حالت منشوری داشته (شکل ۴-الف) و طبق آزمایشات (Donaldson 1976)، Faure (2001) و Faure et al. (2003) چنین اشکالی (شکل ۴-ب) در سرعت‌های سرددشگی بسیار خفیف پدید می‌آیند.

الیوین به صورت کانی شکل دار و نیمه شکل دار، هم در گدازه‌ها و اسکوری‌ها و هم در انکلاوهای یافت می‌شود. اما فراوانی و اندازه آن در انکلاوهای مافیک به مرتب بیشتر (حدود ۱۰٪) از گدازه‌ها یا اسکوری‌ها است. به همین دلیل فراوانی کم آنها در گدازه‌ها، تمام نقاط اندازه‌گیری شده الیوین، مربوط به انکلاوهای است (جدول ۱). همانطور که ملاحظه می‌شود

جدول ۱. نتایج آنالیز میکروپریوب شاخص کانی‌ها الیوین

Sample No.	A2-5 (enclave)							
Data No.	1 / 1.	2 / 1.	4 / 1.	5 / 1.	6 / 1.	7 / 1.	24 / 1.	27 / 1.
SiO_2	39.96	39.63	39.30	40.21	39.72	39.77	39.89	39.70
TiO_2	0.00	0.00	0.00	0.02	0.05	0.00	0.00	0.00
Al_2O_3	0.00	0.11	0.00	0.00	0.03	0.00	0.00	0.03
Cr_2O_3	0.00	0.01	0.03	0.00	0.00	0.00	0.00	0.00
FeO	18.91	18.25	17.38	18.01	17.16	16.93	15.58	18.87
MnO	0.39	0.37	0.35	0.40	0.33	0.36	0.22	0.34
MgO	40.88	41.71	42.36	41.89	41.74	41.72	42.68	40.68
NiO	0.32	0.31	0.23	0.29	0.24	0.32	0.36	0.26
CaO	0.10	0.06	0.09	0.02	0.09	0.06	0.06	0.02
Na_2O	0.00	0.04	0.05	0.00	0.00	0.03	0.01	0.00
K_2O	0.00	0.02	0.01	0.01	0.01	0.00	0.00	0.02
P_2O_5	0.64	0.53	0.64	0.18	0.74	0.93	0.05	0.09
Total	101.22	101.07	100.46	101.03	100.17	100.13	98.86	100.01
Si	1.016	1.007	1.003	1.015	1.014	1.017	1.017	1.015
Ti	0.000	0.000	0.000	0.000	0.001	0.000	0.000	0.000
Al	0.000	0.003	0.000	0.000	0.001	0.000	0.000	0.001
Cr	0.000	0.000	0.001	0.000	0.000	0.000	0.000	0.000
FeII	0.402	0.388	0.371	0.380	0.367	0.362	0.332	0.404
Mn	0.008	0.008	0.008	0.009	0.007	0.008	0.005	0.007
Mg	1.550	1.579	1.611	1.576	1.589	1.590	1.622	1.551
Ni	0.006	0.006	0.005	0.006	0.005	0.007	0.007	0.005
Ca	0.003	0.002	0.002	0.000	0.003	0.002	0.002	0.001
Cation Sum	2.986	2.993	3.000	2.985	2.987	2.985	2.985	2.985
fo	79.41	80.27	81.28	80.57	81.24	81.45	83.01	79.34
fa	20.59	19.73	18.72	19.43	18.76	18.55	16.99	20.66

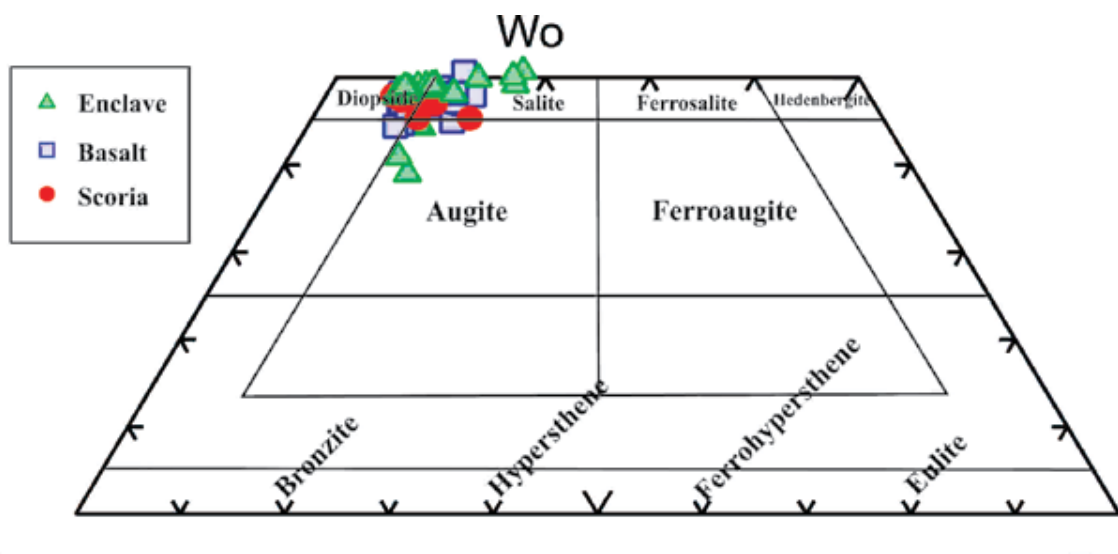
کلینوپیروکسن

فاحشی بین ترکیب قسمت‌های مختلف حاشیه تا مرکز وجود ندارد. فقط باندهای مختلف این کانی از نظر میزان اکسیدهای CaO , FeO , Al_2O_3 , Na_2O در حدود ۱٪ تا ۰.۰٪ در تغییر است (شکل ۵). به نظر می‌رسد این تغییرات ترکیبی ناچیز، بیشتر به تلاطم‌های ترکیبی معمول در مخزن ماغماهی ارتباط داشته باشد تا به ورود ضربان‌های جدید ماغماهی به داخل مخزن.

پیروکسن در محصولات آتشفشاری منطقه، چه در انکلاوها و چه در اسکوریها یا گدازه‌ها با ترکیب و اندازه مشابه یافت می‌شود. به طوری که ترکیب آن بین دو حد $\text{Wo}_{42.79}\text{En}_{43.17}\text{Fs}_{10.63}$ و $\text{Wo}_{47.10}\text{En}_{44.80}\text{Fs}_{6.34}$ در تغییر است. با وجود آنکه برخی نمونه‌های پیروکسن، منطقه‌بندی متعددالمرکز و ساعت شنی (شکل‌های ۴-ج و ۴-د) نشان می‌دهند؛ همانطورکه در جدول ۲ ملاحظه می‌شود تفاوت

جدول ۲. نتایج آنالیز میکروپیوب شاخص کانی‌ها پیروکسن

SampleNo.	(انکلاو) A2-5		(روانه گدازه) A1-3-b			(روانه گدازه) A2-1			(اسکوری) B1-2	
DataNo.	33/1 (c)	34/1 (r)	63/1 (c)	64/1 (c)	65/1 (r)	73/1 (c)	74/1 (m)	75/1 (r)	97/32	97/47
SiO_2	53.00	53.62	52.08	51.08	51.99	53.45	52.69	52.92	52.03	49.98
TiO_2	0.42	0.38	0.96	1.08	0.94	0.38	0.52	0.53	0.61	1.27
Al_2O_3	2.18	1.40	3.83	4.42	3.39	1.99	2.00	1.70	2.71	3.81
Cr_2O_3	0.04	0.04	0.01	0.00	0.00	0.00	0.03	0.01	0.11	0.02
FeO	6.60	5.30	4.22	5.43	5.36	5.01	5.47	5.03	3.92	6.61
MnO	0.22	0.17	0.09	0.11	0.08	0.14	0.10	0.15	0.13	0.11
MgO	15.44	15.93	15.34	14.50	15.06	16.06	16.19	16.31	15.97	14.46
CaO	21.30	22.37	22.95	22.20	21.94	22.38	21.68	21.38	23.37	22.48
Na_2O	0.94	0.52	0.52	0.72	0.67	0.49	0.53	0.55	0.48	0.65
K_2O	0.00	0.02	0.00	0.02	0.00	0.01	0.00	0.01	0.00	0.01
NiO	0.00	0.05	0.02	0.06	0.05	0.03	0.08	0.00	0.04	0.03
P_2O_5	0.02	0.04	0.05	0.03	0.05	0.07	0.04	0.08	0.06	0.03
Total	100.18	99.87	100.10	99.66	99.57	100.02	99.35	98.76	99.44	99.52
Si	1.940	1.969	1.904	1.882	1.917	1.957	1.942	1.961	1.911	1.852
Ti	0.011	0.011	0.027	0.030	0.026	0.010	0.014	0.015	0.017	0.035
Al	0.094	0.061	0.165	0.192	0.147	0.086	0.087	0.074	0.117	0.166
Cr	0.001	0.001	0.000	0.000	0.000	0.000	0.001	0.000	0.003	0.000
Fe(ii)	0.202	0.163	0.129	0.167	0.165	0.153	0.169	0.156	0.120	0.205
Mn	0.007	0.005	0.003	0.003	0.003	0.004	0.003	0.005	0.004	0.003
Mg	0.843	0.872	0.836	0.797	0.828	0.876	0.890	0.901	0.874	0.799
Ca	0.835	0.880	0.899	0.876	0.866	0.878	0.856	0.848	0.919	0.892
Na	0.066	0.037	0.037	0.052	0.048	0.035	0.038	0.040	0.034	0.047
K	0.000	0.001	0.000	0.001	0.000	0.000	0.000	0.000	0.000	0.000
Total	4.000	4.000	4.000	4.000	4.000	4.000	4.000	4.000	4.000	4.000
Wo	44.41	45.95	48.23	47.61	46.58	46.04	44.70	44.51	48.04	47.05
En	44.84	45.54	44.85	43.32	44.54	45.94	46.48	47.30	45.69	42.14
Fs	10.74	8.51	6.92	9.08	8.88	8.02	8.83	8.19	6.27	10.81



شکل ۵. ترکیب شیمیایی فنوکریست‌های پیروکسن در نمونه‌های برداشت شده در نمودار طبقه‌بندی پیروکسن (Poldervaart and Hess, 1951)

آمفیبول

منیزیم قرار می‌گیرد (جدول ۳) و چنانچه در شکل ۶ معلوم است ترکیب آن در تمام محصولات آتشفسانی از نوع ماگنزیو‌هاستنگزیت و تا حدودی هاستنگزیت منیزیمی است. آمفیبول اگرچه در گدازه‌ها و اسکوری‌ها دیده می‌شود، ولی در انکلاوهای بهویشه در گروهی از آنها (هورنبلندهای)، فراوان‌تر است. این کانی بهدلیل داشتن $Mg\# < 0.6$ در زمرة هورنبلندهای سرشار از

جدول ۳. نتایج آنالیز میکروپریوب کانی‌ها شاخص هورنبلند

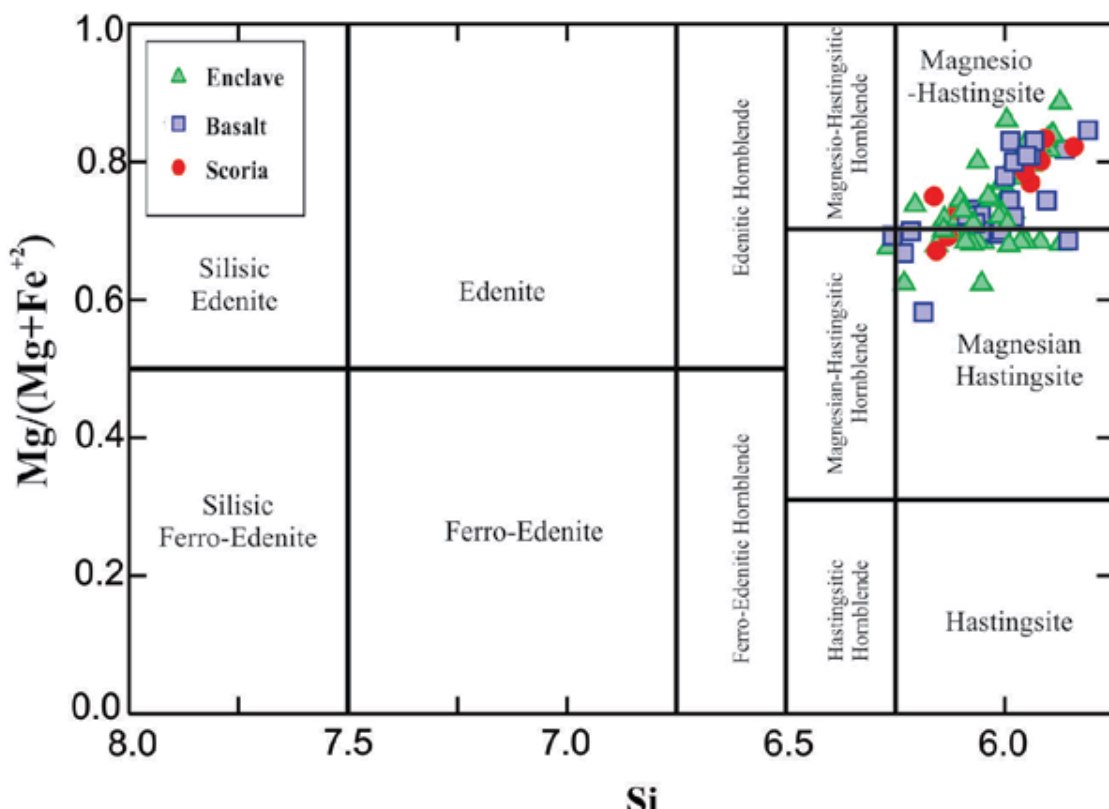
Sample No.	A2-5(enclave)		A2-11(enclave)		A2-17(enclave)		A2-1(basalt)	B1-2(scoria)	
DataNo.	26/1	39/1	40/1	45/1	91/1	92/1	96/62	97/22	97/31
SiO_2	44.25	41.89	40.67	48.89	53.17	52.72	41.84	41.64	40.72
TiO_2	2.28	3.01	3.24	1.02	1.04	1.47	3.63	3.94	1.15
Al_2O_3	11.33	12.40	13.26	19.76	20.72	21.25	11.82	12.63	15.46
Cr_2O_3	0.03	0.00	0.00	0.00	0.00	0.00	0.02	0.00	0.03
FeO	7.91	11.97	10.10	7.15	4.51	6.20	10.20	25.16	4.22
MnO	0.13	0.13	0.08	0.21	0.14	0.13	0.15	0.31	0.10
MgO	16.66	13.46	14.04	2.03	1.05	1.41	12.93	2.66	3.40
CaO	11.28	10.80	11.66	7.07	4.09	4.21	10.08	2.07	15.75
Na_2O	3.22	2.79	2.56	7.83	4.11	6.48	3.98	3.15	6.51

ادامه جدول ۳

Sample No.	A2-5(enclave)		A2-11(enclave)		A2-17(enclave)		A2-1(basalt)	B1-2(scoria)	
DataNo.	26/1	39/1	40/1	45/1	91/1	92/1	96/62	97/22	97/31
K ₂ O	1.10	1.30	1.70	3.28	5.49	3.07	1.67	4.92	2.10
P ₂ O ₅	0.03	0.05	0.00	0.50	0.34	0.35	0.13	0.66	8.75
NiO	0.03	0.04	0.04	0.02	0.02	0.01	0.10	0.01	0.00
F	0.28	0.31	0.23	0.02	0.22	0.08	0.59	0.43	0.54
Cl	0.01	0.01	0.00	0.06	0.22	0.09	0.01	0.02	0.08
Total	98.54	98.16	97.58	97.83	95.13	97.47	97.16	97.59	98.83
Si	6.327	6.120	5.994	6.998	7.554	7.332	6.257	6.595	6.515
Al iv	1.673	1.880	2.006	1.002	0.446	0.668	1.743	1.405	1.485
Al vi	0.236	0.255	0.297	2.331	3.024	2.815	0.341	0.953	1.430
Ti	0.245	0.331	0.359	0.109	0.111	0.154	0.408	0.469	0.139
Cr	0.003	0.000	0.000	0.000	0.000	0.000	0.002	0.000	0.004
Fe ³⁺	0.396	0.552	0.256	0.000	0.000	0.000	0.000	0.000	0.000
Fe ²⁺	0.550	0.910	0.988	0.856	0.536	0.721	1.276	3.332	0.564
Mn	0.016	0.016	0.010	0.025	0.017	0.015	0.018	0.042	0.014
Mg	3.550	2.931	3.084	0.433	0.222	0.292	2.882	0.629	0.811
Ni	0.003	0.004	0.005	0.002	0.003	0.001	0.012	0.001	0.000
Ca	1.728	1.690	1.842	1.084	0.622	0.628	1.616	0.351	2.700
Na	0.891	0.789	0.732	2.173	1.133	1.748	1.155	0.968	2.020
K	0.201	0.242	0.320	0.599	0.996	0.544	0.318	0.993	0.429
F	0.128	0.143	0.106	0.007	0.101	0.036	0.280	0.216	0.275
Cl	0.003	0.002	0.000	0.014	0.054	0.021	0.003	0.005	0.023
OH*	1.868	1.855	1.894	1.978	1.845	1.944	1.717	1.778	1.702
Total	17.820	17.721	17.893	17.612	16.664	16.919	18.029	17.738	18.111

۴-هـ) که گاه کل بلور را نیز دربرمی‌گیرد (شکل ۴). نکته حائز اهمیت آن است که هورنبلندهای موجود در انکلاوهای سالمتر از هورنبلندهای گدازه‌ها است (شکل ۳-ب) اگرچه ترکیب آنها تقریباً مشابه است (شکل ۶).

همانند بیشتر آمفیبول‌های سنگ آتشفسانی، این کانی نیز دارای حاشیه واکنشی اکسیداسیونی است که بهدلیل حرارات زیاد گدازه، دچار اکسیداسیون و هیدروژن‌زادایی شده (Garcia and Jacobson, 1979) و با تبدیل Fe⁺² به Fe⁺³، محصولات واکنشی از نوع مagnetite در پیرامون آن تشکیل می‌شود (شکل



شکل ۶. ترکیب شیمیایی آمفیبول‌های موجود در انکلاوهای و سنتگ‌های میزبان بر روی نمودار $\text{Si} / \text{Mg} + \text{Fe}^{2+}$ در برابر #Mg (Leake et al., 1997). چنانکه ملاحظه می‌شود آمفیبول‌های مورد مطالعه غالباً از نوع ماغنیو-هاستنگزیت هستند

از دیگرسو قرارگیری ترکیبات این کانی در

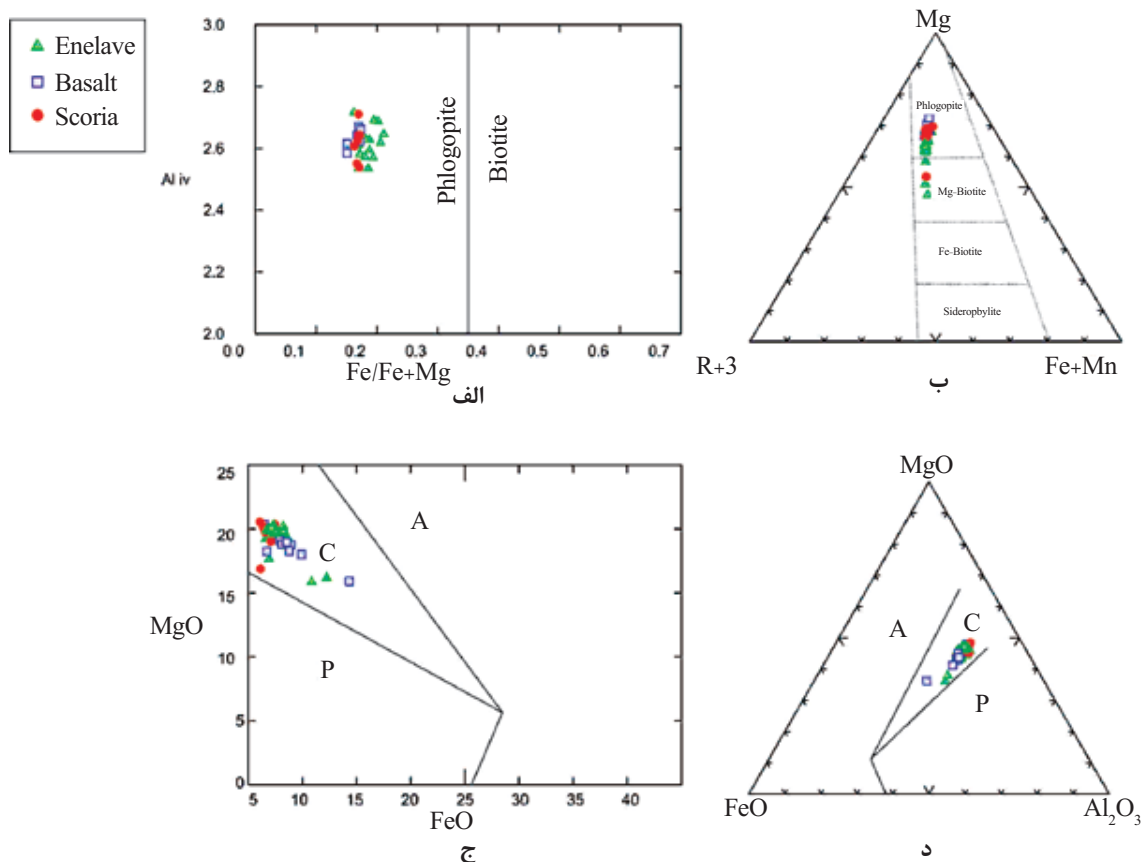
طبقه‌بندی (Abdel-Rahman 1994) (شکل ۷) نشان می‌دهد که ماقمای تشکیل‌دهنده آن ترکیب کالک‌آلکالن داشته است. همانند آمفیبول، این کانی نیز شواهد سوختگی (اپاسیتی شدن) و اکسیداسیون (شکل ۴-ز) بهویژه در گدازه‌ها و اسکوری‌ها را نشان می‌دهد. به علاوه انواع موجود در انکلاوهای سالمتر بوده و از دسترس اکسیداسیون ناشی از حرارت گدازه نسبتاً دور مانده‌اند (شکل ۳-ج).

بیوتیت

ترکیب بیوتیت‌های نمونه‌های مورد مطالعه، بیشتر از نوع فلوگوپیت است (جدول ۴ و شکل ۷) و همانند سایر کانی‌ها مورد اشاره، ترکیبی مشابه در اسکوری‌ها، گدازه‌ها و انکلاوهای دارند. با این حال در تقسیم‌بندی Foster (1960)، برخی از آنها به سمت $\text{Mg}-\text{بیوتیت}$ نیز کشیده می‌شوند. با وجود مشاهده منطقه‌بندی در زیر میکروسکوپ (شکل ۴-ح)، داده‌های شیمیایی، سبک تغییرات خاصی را در باندهای مختلف این کانی نشان نمی‌دهد.

جدول ۴. نتایج آنالیز میکروپرورب کانی‌ها شاخص بیوپتیت

Sample No.	A2-5 (انکلاو)			A2-11 (انکلاو)					1-A2(جالت)
Data No.	16/1	17/1	18/1	82/1(c)	83/1(c)	84/1(c)	85/1(r)	86/1(r)	96/4
SiO ₂	37.86	38.62	38.03	37.00	36.86	37.81	35.82	37.25	38.11
TiO ₂	3.12	2.87	3.04	4.08	4.05	4.07	4.53	3.83	4.62
Al ₂ O ₃	15.80	15.30	15.66	16.40	16.15	15.91	16.41	16.14	13.98
FeO	8.21	8.22	8.39	8.55	8.38	8.77	12.24	8.97	23.00
MnO	0.04	0.07	0.08	0.06	0.02	0.07	0.08	0.07	0.43
MgO	19.84	20.19	19.58	19.01	19.36	18.94	16.17	18.84	1.89
CaO	0.01	0.01	0.00	0.02	0.00	0.00	0.09	0.00	0.42
Na ₂ O	1.36	1.31	1.45	0.82	0.86	0.89	0.81	0.81	5.71
K ₂ O	8.02	8.45	8.18	8.74	8.66	8.68	8.39	8.68	4.64
F	0.31	0.37	0.32	0.62	0.44	0.73	0.49	0.51	0.20
Cl	0.00	0.03	0.02	0.01	0.02	0.01	0.02	0.01	0.06
Cr ₂ O ₃	0.06	0.00	0.00	0.00	0.00	0.01	0.00	0.00	0.00
NiO	0.10	0.12	0.12	0.00	0.08	0.04	0.00	0.00	0.00
P ₂ O ₅	0.00	0.00	0.06	0.04	0.00	0.01	0.01	0.02	0.16
Total	94.73	95.56	94.92	95.34	94.87	95.93	95.06	95.14	93.22
Si	5.406	5.465	5.431	5.313	5.310	5.383	5.268	5.354	5.903
Al iv	2.594	2.535	2.569	2.687	2.690	2.617	2.732	2.646	2.097
Al vi	0.066	0.016	0.067	0.089	0.051	0.052	0.113	0.088	0.455
Ti	0.335	0.305	0.327	0.441	0.438	0.435	0.501	0.414	0.538
Cr	0.007	0.000	0.000	0.000	0.000	0.001	0.000	0.000	0.000
Fe	0.980	0.973	1.002	1.027	1.010	1.044	1.506	1.078	2.978
Mn	0.005	0.008	0.009	0.008	0.002	0.009	0.010	0.008	0.057
Mg	4.223	4.259	4.169	4.069	4.158	4.018	3.546	4.037	0.437
Ni	0.012	0.014	0.013	0.000	0.009	0.004	0.000	0.000	0.000
Cu	0.000	0.000	0.000	0.000	0.000	0.000	0.000	0.000	0.000
Li*	0.755	0.872	0.782	0.616	0.595	0.744	0.430	0.658	0.864
Ca	0.002	0.002	0.000	0.002	0.000	0.000	0.013	0.001	0.070
Na	0.376	0.360	0.401	0.228	0.240	0.246	0.230	0.227	1.715
K	1.461	1.524	1.490	1.601	1.592	1.576	1.575	1.591	0.917
OH*	3.862	3.830	3.851	3.715	3.798	3.667	3.769	3.764	3.888
F	0.138	0.164	0.145	0.284	0.198	0.330	0.226	0.233	0.098
Cl	0.000	0.006	0.004	0.001	0.004	0.003	0.005	0.003	0.015



شکل ۷. (الف) نمودار ردمبندی میکاها (Deer and et al., 1991) و (ب) نمودار تفکیک انواع میکاها بر اساس ارتباط بین Mg , Fe^{2+} (Mn^{2+}) و (ج) R^{3+} (Al, Fe^{3+}, Ti) (Foster, 1960) و (د) موقعیت نمونه‌های مطالعه در نمودارهای تفکیک کننده‌ی ترکیب مگما بر اساس ترکیب شیمیایی بیوتیت (Abdel-Rahman, 1994)؛ علامت اختصاری عبارتنداز: A- مگماهای آکالان؛ C- مگماهای کالکآکالان؛ P- مگماهای پرآلومین

به خصوص آنکه در این گدازه‌ها، زینولیت‌های کوارتز نیز دیده می‌شوند.

از سوی دیگر، با نادیده انگاشتن فرضیه اخیر، ترکیب شیمیایی این فلدسپارها در بازه $An_{18.02-35.40}$ قرار می‌گیرد که با ترکیب شیمیایی کل سنگ‌های بازالتی مورد بحث ($SiO_2 = 45\% - 48\%$) اصلاً سازگاری ندارد.

بحث

در شمال قروه، چند مخروط اسکوری وجود دارد که ساختار آنها تقریباً به طور یکسان از قطعات پرتابی اسکوری، بمب‌های آتشفسانی و روانه گدازه‌های

فلدسپار

در گدازه‌ها و اسکوری‌ها، دو نسل فلدسپار دیده می‌شود: یکی به صورت میکرولیت‌های تازه در بین فنوکریستهای مافیک و دیگری به صورت درشت بلور. گونه اخیر به صورت خورده شده و تحلیل‌رفته (شکل ۳-الف) ظاهر می‌شود که شباهت زیادی به فلدسپارهای موجود در زینولیت‌های گنیسی دارد. از آنجا که تجزیه شیمیایی انواع اخیر، نتایج صحیحی را به دست نداده است (مقدار کل آنالیزها کمتر از ۱۰۰)، به نظر می‌رسد از پراکنده‌گی کانی‌ها زینولیت‌های گنیسی و سپس عدم تعادل شیمیایی در اثر حرارت گدازه ایجاد شده باشند.

حداقل از اعماق پی‌سنگ پوسته زیرین منطقه است که پس از کنده شدن، تحت تأثیر حرارت بالای گدازه، مضمحل و از هم پاشیده شده‌اند.

اما در مورد انکلاوهای گروه دوم که حاوی مقادیر زیادی کانی‌ها درشت مافیک آبدار (هورنبلند و بیوتیت) و بی‌آب (الیوین و پیروکسن) و مقادیر بسیار کمی پلاژیوکلاز هستند، برخی از محققین را به این سو سوق داده است که شاید قطعاتی از گوشته هستند که همانند گروه اول توسط فوران‌های آتشفسانی به سطح زمین منتقل شده‌اند و بهمین دلیل، آنها را زینولیت‌های اولترامافیک گوشته‌ای معرفی کرده‌اند (گرد، ۱۳۹۱). ولی داده‌های شیمی کانی‌ها در تحقیق حاضر نشان می‌دهد که کانی‌ها مورد اشاره در انکلاوهای مزبور کاملاً همانند کانی‌ها موجود در پرتابه‌های اسکوری، بمب‌های آتشفسانی و حتی روانه‌های گدازه هستند. با این تفاوت که فراوانی و اندازه آنها بیشتر است. بهمین دلیل، در این مطالعه، ما آنها را به سه گروه میکا-آپاتیت-هورنبلند (MAH)، میکا-آپاتیت-الیوین (MAO) و هورنبلند-آپاتیت-پیروکسن (HAP) تقسیم کرده‌ایم.

برای بررسی ایده همانندی یا غیرهمانندی ترکیبی کانی‌ها انکلاوها با کانی‌ها گدازه‌ها و اسکوری‌ها، آنها را مورد تجزیه شیمیابی قرار داده (جداول ۱ تا ۳) و در نمودارهای مرتبط نشان داده شده است (شکل‌های ۵ و ۶ و ۷). چنانکه ملاحظه می‌شود، کانی‌ها مزبور در تمامی واحدهای مورد اشاره، ترکیب شیمیابی یکسانی دارند و به همین دلیل آنها را باید کومولاها (یا انباسته بلورهایی) دانست که ضمن سقوط و تنهشی به کف مخزن ماقمایی، رشد کرده و درشت‌تر شده‌اند و آنگاه با فوران‌های شدید و پرسرعت بعدی، به سطح زمین آورده شده‌اند.

نکته قابل ملاحظه دیگر، آن است که تمام کانی‌ها مافیک نمونه‌ها، مربوط به اعضای پرمیزیم محلول‌های

همجنس ساخته شده است. علیرغم فقدان شواهد سنسنجی رادیومتری، نظر به قرارگیری این مخروط‌ها بر روی سری رسوبات منتبه به سازند قرمز فوکانی (حسینی، ۱۳۷۸)، سن این مخروط‌ها به زمان پلیوسن و یا جدیدتر از آن نسبت داده می‌شود.

از نظر روابط چینه‌شناسی آتشفسانی، مخروط‌های آتشفسانی شمال قره، از سه رخساره آذرآواری‌های پامیسی، نهشت‌های ریزشی اسکوری و روانه گدازه‌های بازالتی ساخته شده‌اند. بهنظر می‌رسد که پیروکلاست‌های پامیسی با داشتن چینه‌بندی داخلی، بافت شبه اوتاکسیتی و درجات مختلف جوش خوردگی، حاصل ته‌نشینی از بهمن پرگازی باشند که طی نشت کردن و رانده شدن از قاعده ستون فورانی مخروط کوه قرینه، به سمت غرب و جنوب‌غربی حرکت کرده و پس از خزیدن و اقامت در گودال‌های توپوگرافی، به همدیگر جوش خورده‌اند. منتهی به‌دلیل جوان بودن محصولات آتشفسانی و عدم تحمل دیاژنز ناشی از رسوبات رویین، قادر جوش خوردگی قابل توجه است.

این روانه‌های آذرآواری، توسط حجم قابل توجهی از پرتابه‌های اسکوری و مقادیر کمتری روانه گدازه‌های هم ترکیب، که حجم اصلی مخروط‌ها را نیز تشکیل می‌دهند، پوشیده می‌شوند. بافت پر‌حرفره قطعات، جورش‌دگی نسبتاً خوب و ترکیب بازالتی، مهمترین ویژگی صحرایی آنها به‌شمار می‌رود.

در داخل قطعات پرتابی اسکوری کوه قرینه (قزلجه کند)، انکلاوهایی مشاهده می‌شود که بنا به نظر بیشتر محققین (از جمله معین وزیری، ۱۳۷۷؛ درویش‌زاده و شهبازی، ۱۳۸۸ و گرد، ۱۳۹۱) به دو گروه زینولیت‌های گنیسی (پوسته‌ای) و زینولیت‌های مافیک (گوشته‌ای) قابل تقسیم هستند. بافت مشخص گنیسی در انکلاوهای گروه اول، که خود حاصل تناوب کانی‌ها تیره و روشن است، بدون تردید منشأ پوسته‌ای آنها را تأیید می‌کند و از این‌رو می‌توان اظهار داشت که منشأ این آتشفسان‌ها،

موجود در کومولاهای کمتر از کانی‌ها هورنبلند و بیوتیت دچار چنین تغییرات ساب‌سالیدوسی شده‌اند، می‌توان کومولاهای مافیک را به صورت بسته‌ها یا لخته‌هایی در داخل ماقمای در حال صعود سریع در نظر گرفت که اکسیداسیون طی فوران، تأثیر کمتری بر آنها داشته است.

۳. به علت شباهت بافتی و شیمیایی کانی‌ها انکلاوهای مافیک با کانی‌ها گدازه‌ها و اسکوری‌ها، باید آنها را کومولاهایی دانست که پس از سقوط به کف آشیانه و رشد و نمو در شرایط سرشار از مواد فرار، توسط فوران‌های انفجاری پرشدت و پرسرعت بعدی، به سطح زمین آورده شده‌اند.

۴. همراهی کانی‌ها مافیک آبدار و بی‌آب در اسکوری‌ها و گدازه‌ها، دلالت بر وقوع فرآیند متاسوماتیسم گوشه و تأثیر آن بر ذوب بخشی گوشه دارد.

منابع

- حسینی، م.، ۱۳۷۸. نقشه زمین‌شناسی ۱:۱۰۰۰۰۰. چهارگوش قروه. سازمان زمین‌شناسی و اکتشافات معدنی کشور.
- درویش‌زاده، ع. و شهبازی، ح.، ۱۳۸۸. رده‌بندی ژنتیکی انکلاوهای استراتوکلکان قزلجه کند، شمال شرق قروه، غرب ایران. فصلنامه تخصصی زمین و منابع، ۲-۵۹-۴۵.
- کرد، م.، ۱۳۹۱. مطالعه پترولوزیکی انکلاوهای گنیسی و اولترامافیکی شمال شرق قروه- کردستان. پایان‌نامه کارشناسی ارشد پترولوزی، دانشکده علوم پایه، دانشگاه بولی سینا. ۱۳۹.
- معین‌وزیری، ح.، ۱۳۷۷. پتروگرافی و ژئوشیمی گزنولیت‌های اولترامافیک بازالت‌های جوان ایران: مثال‌هایی از شبه جزیره سارای، منطقه بیجار- قروه، دماوند و قلعه حسنعلی راین، دومین همایش زمین‌شناسی ایران، ۴۶۵-۴۶۸.

جامد کانی‌ها هستند. به طوری که الیوین‌ها دارای ترکیب $Fo_{79.05-82.80}$ ، هورنبلندها از نوع ماغنیزیو‌هاستنگریت ($Mg\# > 0.6$) و بیوتیت‌ها بیشتر از نوع فلوگوپیت هستند. به همین دلیل، منشأ گوشه‌ای نه فقط برای کومولاهای کانی‌ها، بلکه برای کل ماقمای سازنده مخروط‌ها تأیید و بسط داده می‌شود.

بالاخره فراوانی بیشتر کانی‌ها مافیک نسبت به کانی‌ها فلسیک و نیز همراهی کانی‌ها مافیک بی‌آب (الیوین و پیروکسن) و آبدار (هورنبلند و بیوتیت) در کنار هم را فقط می‌توان با فرآیند متاسوماتیسم مواد فرار در محل تشکیل ماقما (احتمالاً گوشه بالایی) تفسیر کرد که موجبات تشکیل هورنبلندها و بیوتیت‌های منیزیمی و نیز فلوراپاتیت را فراهم کرده است.

نتیجه‌گیری

بررسی‌های چینه‌شناسی آتش‌نشانی، سنگ‌شناسی توصیفی و داده‌های شیمی کانی‌ها در مورد آتش‌نشان‌های جوان شمال قروه، نتایج مهم زیر را به دست داده است:

۱. مخروط‌های اسکوری مورد بحث همانند سایر مخروط‌های اسکوری، حاصل فوران‌های نوع استرومبولی هستند که در آنها مقدار زیادی قطعات لایلی و بمب و مقدار کمی ابرهای خاکستر متلاطم تولید می‌شود.

۲. وجود انکلاوهای مافیک و فلسیک در داخل قطعات اسکوری و روانه‌های گدازه پر‌حرفره، ضمن آنکه حکایت از منشأ عمیق گوشه‌ای ماقمای سازنده دارد، بر حرکت سریع ماقما به سطح زمین نیز دلالت دارد که از طریق مواجه شدن با شکستگی‌های عمیق پی‌سنگی نیز تسهیل شده است. از آنجاکه طبق نظر محققین مختلف حاشیه‌های اپاسیتی پیرامون هورنبلند و بیوتیت، حاصل فرآیند اکسیداسیون و هیدروژن‌زدایی به هنگام فوران هستند و کانی‌ها هورنبلند و بیوتیت

- Garcia, M.O., and Jacobson, S.S., 1979. Crystal clots, amphibole fraction and the evolution of calc-alkaline magmas. Contributions to Mineralogy and Petrology, 69, 319-327.
- Halsor, S.P., 1989. Large glass inclusions in plagioclase phenocrysts and their bearing on the origin of mixed andesitic lavas at Toliman Volcano, Guatemala. Bulletin of Volcanology, 51, 271-280.
- Leake, B.E., Woolley, A.R., Arps, C.E.S., Birch, W.D., Gilbert, M.C., Grice, J.D., Hawthorne, F.C., Kato, A., Mandarino, J.A., Maresch, W.V., Nikel, E.H., Rock, N.M.S., Schumacher, J.C., Smith, D.C., Stephenson, N.C.N., Ungaretti, L., Whittaker, E.J.W. and Youzhi, G., 1997. Nomenclature of amphibole: Report of the subcommittee on amphibole of the international mineralogical association, commission on new mineral and mineral name. American Mineralogist, 82, 1019-1037.
- McCanta, M.C., Rutherford, M.J. and Hammer, J.E., 2007. Pre-eruptive and syn-eruptive conditions in the Black Butte, California dacite: Insight into crystallization kinetics in a silicic magma system. Journal of Volcanology and Geothermal Research, 160, 263-284.
- Nelson, S.T. and Montana, A., 1992. Sieve-textured plagioclase in volcanic rocks produced by rapid decompression. American Mineralogist, 77, 1242-1249.
- Poldervaart, A. and Hess, H.H., 1951. Pyroxene in the crystallization of basaltic magma. Journal of Geology, 59, 472-489.
- Rutherford, M.J. and Devine, J.D., 2003. Magmatic conditions and magma ascent as indicated by hornblende phase equi-
- . 1390. - حقنطر، ش. و ملکوتیان، س.. خصوصیات منشأ گوشه‌ای آلکالی الیوین بازالت‌های کواترنری منطقه قروه- تکاب. پترولوزی، ۶، ۳۰-۱۴.
- Abdel-Rahman, A., 1994. Nature of Biotites from Alkaline, Calc-alkaline and Peraluminous Magmas. Journal of Prtrology, 35, 525-541.
- Cas, R.A.F. and Wright, J.V., 1987. Volcanic Succession: Modern and Ancient. Allen and Unwin, London, 528.
- Deer, W.A., Howie, R.A. and Zussman, J., 1991. An Introduction to Rock Forming Minerals. Longman, 528.
- Dungan, M.A. and Rhodes, J.M., 1978. Residual glasses and melt inclusions in basalts from DSDP Legs 45 and 46: evidence from magma mixing. Contributions to Mineralogy and Petrology, 67, 417-431.
- Donaldson, C.H., 1976. An experimental study of olivine morphology. Contributions to Mineralogy and Petrology, 57, 187-213.
- Faure, F., Trolliard, G., Nicollet, C., and Montel, J.M., 2003. A developmental model of olivine morphology as a function of the cooling rate and the degree of undercooling. Contributions to Mineralogy and Petrol-
ogy, 145, 251-263.
- Faure, F., 2001. Les textures de croissance rapide dans les roches magmatiques basiques et ultrabasiques:etude experimen-tale et nanoscopique. Th se Universite Clermont-Ferrand.
- Foster, M., 1960. Interpretation of the composition of Trioctahedral Micas. Geological Survey Professional, paper 354-B.
- Francis, P., 1993. Volcanoes, A Planetary Perspective. Oxford University Press, New York. 443.

- libria and reactions in the 1995–2002 Soufrière Hills magma. *Journal of Petrology*, 44, 1433–1454.
- Troll, V.R., Donaldson, C.H. and Emeleus, C.H., 2004. Pre- eruptive magma mixing in ash- flow deposits of the Tertiary Rum Igneous Center, Scotland. *Contributions to Mineralogy and Petrology*, 147, 722–739.
- Tsuchiyama, A., 1985. Dissolution ki- netics of plagioclase in the melt of the system diopside–albite–anorthite and origin of dusty plagioclase in andesites. *Contributions to Mineralogy and Petrology*, 89, 1–16.
- Valentine, G.A. and Gregg, T.K.P., 2008. Continental basaltic volcanoes- Processes and problems. *Journal of Volcanology and Geothermal Research*, 177, 857–873.